

УДК 621.6

А. Г. ХАКИМОВ, М. М. ШАКИРЬЯНОВ

ПРОСТРАНСТВЕННЫЕ КОЛЕБАНИЯ ТРУБОПРОВОДА ПОД ДЕЙСТВИЕМ ПЕРЕМЕННОГО ВНУТРЕННЕГО ДАВЛЕНИЯ

Исследуются пространственные колебания изогнутого собственным весом трубопровода, находящегося под действием переменного внутреннего давления. *Пространственные колебания; собственный вес; трубопровод; переменное внутреннее давление*

Подача топлива из топливных баков летательного аппарата в камеру сгорания двигателя осуществляется через разветвленную сеть трубопроводов, которые на отдельных участках изначально изогнуты и под действием переменного внутреннего давления могут совершать пространственные колебания. Такие же колебания трубопровода могут иметь место при заправке летательного аппарата на земле и в воздухе. При определенных соотношениях между параметрами колебания трубопровода могут усиливаться или затухать, поэтому задача изучения пространственных колебаний трубопровода является актуальной проблемой и имеет практический интерес.

1. СОСТОЯНИЕ ВОПРОСА

Общая постановка задачи о пространственных колебаниях трубопровода приведена в монографии [1]. В статической постановке влияние внутреннего давления в трубопроводе на его изгибные деформации изучено в работе [2]. Поперечные колебания трубы под действием бегущих волн в жидкости рассмотрены в статье [3]. Исследованию нелинейных свободных пространственных колебаний статически изогнутого трубопровода с рабочей средой посвящена статья [4]. В настоящей работе рассматриваются пространственные изгибно-вращательные колебания трубопровода с учетом влияния переменного внутреннего давления в трубопроводе на его изгибные деформации.

2. ПОСТАНОВКА ЗАДАЧИ

Рассматриваются пространственные колебания трубопровода и заключенной в нем несжимаемой жидкости относительно горизонтальной оси Dx (рис. 1), проходящей через опо-

ры. В статическом состоянии трубопровод изогнут собственным весом и находится под действием внутреннего давления. Предполагается, что трубопровод выводится из этого состояния путем его отклонения на угол θ от вертикальной плоскости. Коэффициент упругости опор и деформации трубопровода, связанные с его выходом из плоскости изгиба, считаются малыми, поэтому изогнутая ось трубопровода является плоской кривой. Длина трубопровода равна L , толщина его стенки – h , а суммарная масса однородного трубопровода и жидкости – m . В данной постановке задачи будем пренебрегать продольными силами инерции по сравнению с поперечными.

На рис. 1 слева изображен элемент трубопровода длиной dx и массой $dm = (m / L) dx$, а справа на этом же рисунке показаны ускорения и силы, действующие на выделенный элемент трубопровода.

Поперечная распределенная нагрузка q_n на трубопровод выражается формулой:

$$q_n = \frac{m}{L} \left(g \cos \theta - \frac{\partial^2 w}{\partial t^2} \right) + P_i F_i \frac{\partial^2 w}{\partial x^2}, \quad F_i = \pi R_i^2, \quad (1)$$

$$P_i = P_0 + P_a \sin(\Omega t + \varphi),$$

где w – прогиб элемента трубопровода, Ω , φ , P_0 и P_a – значения круговой частоты, начальной фазы, статической и амплитуды динамической составляющих переменного внутреннего давления P_i в трубопроводе, R_i , F_i – внутренний радиус и площадь проходного сечения трубопровода, t – время.

Касательное a_τ к траектории, нормальное a_n и кориолисово a_k ускорения выделенного элемента трубопровода равны

$$a_\tau = w \frac{d^2 \theta}{dt^2}, \quad a_n = w \left(\frac{d\theta}{dt} \right)^2, \quad a_k = 2 \frac{d\theta}{dt} \frac{\partial w}{\partial t}.$$

Таким образом, силы инерции $d\Phi_\tau$, $d\Phi_n$ и $d\Phi_k$ выделенного элемента трубопровода записываются

$$d\Phi_\tau = dm \cdot w \frac{d^2\theta}{dt^2}, \quad (2)$$

$$d\Phi_n = dm \cdot w \left(\frac{d\theta}{dt}\right)^2, \quad d\Phi_k = 2dm \frac{d\theta}{dt} \frac{\partial w}{\partial t}.$$

3. МЕТОДИКА ИССЛЕДОВАНИЯ

Уравнение условного равновесия трубопровода в виде суммы моментов всех приложенных сил и сил инерции относительно оси Dx имеет вид (рис. 1)

$$-\int_{(m)} gws \sin \theta dm - \int_{(m)} wd\Phi_\tau - \int_{(m)} wd\Phi_k - M_c = 0, \quad (3)$$

где g – гравитационное ускорение. Суммарный момент сил сопротивления M_c трубопровода прямо пропорционален первой степени угловой скорости:

$$M_c = \mu_1 \frac{d\theta}{dt}, \quad (4)$$

где μ_1 – коэффициент сопротивления вращению всего трубопровода.

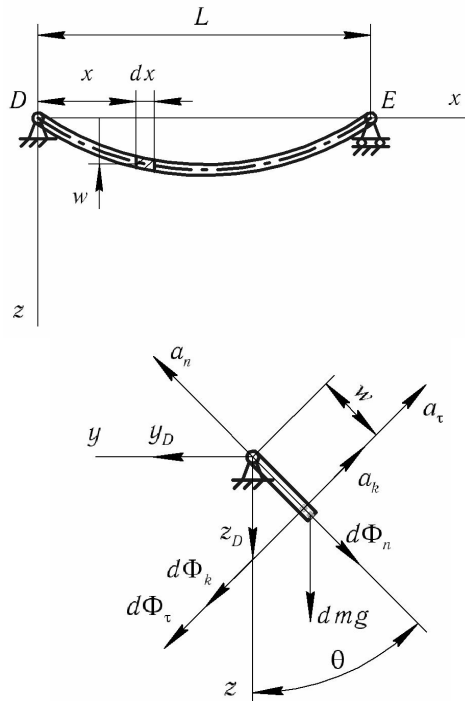


Рис. 1. Расчетная схема трубопровода

Уравнение (3) с учетом равенств (2) и (4) примет вид

$$-\frac{m}{L} g \sin \theta \int_0^L w dx - \frac{m}{L} \frac{d^2\theta}{dt^2} \int_0^L w^2 dx - \frac{2m}{L} \frac{d\theta}{dt} \int_0^L w \frac{\partial w}{\partial t} dx - \mu_1 \frac{d\theta}{dt} = 0. \quad (5)$$

Сила T продольного натяжения трубопровода определяется интегралом

$$T = \frac{EF}{2L} \int_0^L \left(\frac{\partial w}{\partial x}\right)^2 dx, \quad (6)$$

где E и $F = 2\pi R h$ – модуль Юнга материала и площадь поперечного сечения трубопровода.

Дифференциальное уравнение изгибных колебаний трубопровода в своей плоскости следующее

$$\frac{\partial^2 w}{\partial t^2} = -\frac{EJL}{m} \frac{\partial^4 w}{\partial x^4} + \frac{(T - P_i F_i)L}{m} \frac{\partial^2 w}{\partial x^2} + g \cos \theta + w \left(\frac{d\theta}{dt}\right)^2 - \frac{\mu_2 L}{m} \frac{\partial w}{\partial t}, \quad (7)$$

где μ_2 – коэффициент сопротивления движению элемента трубопровода в плоскости изгиба, $J \cong \pi R_i^3 h$ – осевой момент инерции площади поперечного сечения трубопровода.

Функцию прогиба трубопровода, удовлетворяющую граничным условиям

$$w(0, t) = w(L, t) = \frac{d^2 w}{dx^2}(0, t) = \frac{d^2 w}{dx^2}(L, t) = 0,$$

примем в виде

$$w(x, t) = [W_0 + w_0(t)] \sin \frac{\pi x}{L}, \quad (8)$$

где W_0 и $w_0(t)$ – амплитуды статической и динамической составляющих прогиба.

Подставляя функцию (8) в уравнения (5) и (7) и применяя к последнему процедуру Бубнова – Галеркина [5], после несложных преобразований получим

$$\begin{aligned} & \frac{1}{2} \frac{d^2\theta}{dt^2} [W_0 + w_0(t)]^2 + \frac{\mu_1}{m} \frac{d\theta}{dt} + \\ & + [W_0 + w_0(t)] \left(\frac{2g}{\pi} \sin \theta + \frac{d\theta}{dt} \frac{dw_0}{dt} \right) = 0, \\ & \frac{d^2 w_0}{dt^2} + \frac{\mu_2 L}{m} \frac{dw_0}{dt} + \frac{\pi^4 EJ}{mL^3} [W_0 + w_0(t)] = \\ & = \frac{4g}{\pi} \cos \theta + [W_0 + w_0(t)] \left(\frac{d\theta}{dt}\right)^2 - \\ & - \left\{ \frac{\pi^2 EF}{4L^2} [W_0 + w_0(t)]^2 - F_i (P_0 + P_a \sin \Omega t) \right\} \times \\ & \times \frac{\pi^2}{mL} [W_0 + w_0(t)]. \end{aligned} \quad (9)$$

Полагая в последнем уравнении $\theta(t) \equiv 0$, $w_0(t) \equiv 0$, $P_a = 0$, получим следующее алгебраическое уравнение для определения статической составляющей W_0 прогиба трубопровода

$$\frac{\pi^4 EF}{4L^2} W_0^3 + \pi^2 \left(\frac{\pi^2 EJ}{L^2} - F_i P_0 \right) W_0 - \frac{4gmL}{\pi} = 0.$$

Система уравнений (9) решается при следующих начальных условиях

$$t=0, \theta = \theta_0, \frac{d\theta}{dt} = \omega_0, w_0 = 0, \frac{dw_0}{dt} = 0. \quad (10)$$

Здесь θ_0 , ω_0 – начальные угол поворота и угловая скорость отклонения трубопровода от вертикальной плоскости.

4. ОБСУЖДЕНИЕ РЕЗУЛЬТАТОВ

Численное решение задачи Коши (9), (10) определялось методом Рунге–Кутты. Результаты вычислений, полученные для следующих числовых значений основных параметров: $m = 0,811$ кг, $L = 2,5$ м, $g = 9,8$ м/с², $R_i = 0,005$ м, $h = 0,001$ м, $\theta_0 = 0,3$ рад, $E = 2,0 \cdot 10^{11}$ Па, $P_a = 2$ бара, $\omega_0 = 0$ рад/с, $\varphi = 0$, представлены в виде графиков. На рис. 2–17 приведены графики зависимости угла θ в радианах и динамического прогиба w_0 в метрах от времени t , соответственно. Результаты численного интегрирования с учетом сил сопротивления изображены сплошными линиями, а штриховыми – без учета этих сил. Графики построены для двух комплектов значений коэффициентов μ_1 и μ_2 сопротивлений: $\mu_1 = 2 \cdot 10^{-7}$ Нмс/рад, $\mu_2 = 2 \cdot 10^{-3}$ Нс/м² и $\mu_1 = 2 \cdot 10^{-5}$ Нмс/рад, $\mu_2 = 2 \cdot 10^{-1}$ Нс/м², двух величин статической составляющей давления P_0 : $P_0 = 10$ бар и $P_0 = 20$ бар и трех значений круговой частоты Ω : $\Omega = 28,5$ рад/с, $\Omega = 64,7$ рад/с и $\Omega = 70,0$ рад/с.

Из рис. 2–5 видно, что в обоих случаях: $P_0 = 10$ бар (рис. 2 и 3) и $P_0 = 20$ бар (рис. 4 и 5) при относительно небольших значениях коэффициентов μ_1 и μ_2 ($\mu_1 = 2 \cdot 10^{-7}$ Нмс/рад, $\mu_2 = 2 \cdot 10^{-3}$ Нс/м²) сопротивлений, значении круговой частоты $\Omega = 28,5$ рад/с сплошная и штриховая кривые практически сливаются. Кроме того, при принятых значениях параметров наблюдается явление биений как по вращательным, так и по изгибным колебаниям. Также можно видеть (рис. 4), что с увеличением статической составляющей давления биения по вращательным колебаниям сглаживаются, а по изгибным колебаниям они остаются четко выраженными (рис. 5) и происходят с большей частотой.

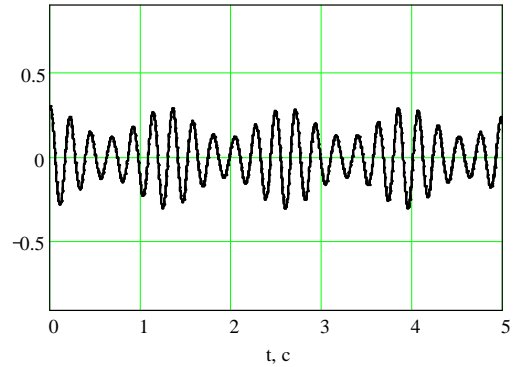


Рис. 2. Зависимость угла θ поворота трубопровода от времени t при $\mu_1 = 2 \cdot 10^{-7}$ Нмс/рад, $\mu_2 = 2 \cdot 10^{-3}$ Нс/м², $\Omega = 28,5$ рад/с и $P_0 = 10$ бар

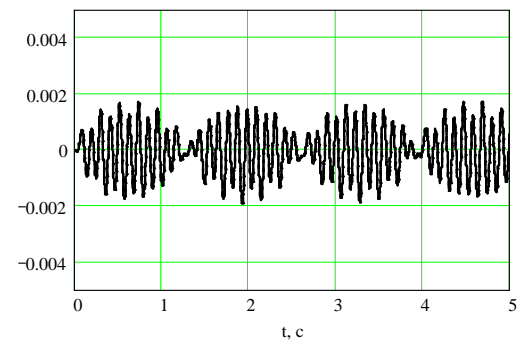


Рис. 3. Зависимость прогиба w_0 средней точки пролета трубопровода от времени t при $\mu_1 = 2 \cdot 10^{-7}$ Нмс/рад, $\mu_2 = 2 \cdot 10^{-3}$ Нс/м², $\Omega = 28,5$ рад/с и $P_0 = 10$ бар

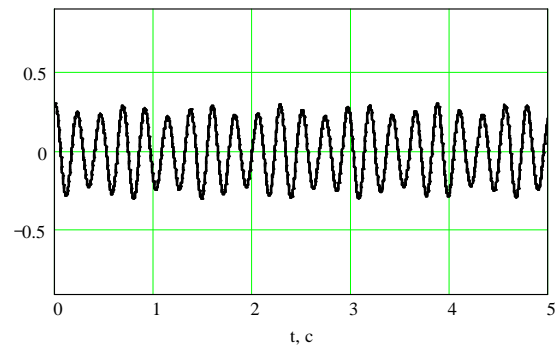


Рис. 4. Зависимость угла θ поворота трубопровода от времени t при $\mu_1 = 2 \cdot 10^{-7}$ Нмс/рад, $\mu_2 = 2 \cdot 10^{-3}$ Нс/м², $\Omega = 28,5$ рад/с и $P_0 = 20$ бар

Как и следовало ожидать, с увеличением сил сопротивления ($\mu_1 = 2 \cdot 10^{-5}$ Нмс/рад, $\mu_2 = 2 \cdot 10^{-1}$ Нс/м²) разница между соответствующими максимальными значениями углов θ и прогибов w_0 становится значительной (рис. 6–11).

Представляется также важным вопрос о влиянии круговой частоты Ω динамической составляющей переменного внутреннего давления на колебания трубопровода. Это обстоятельство представлено графиками на рис. 6–11.

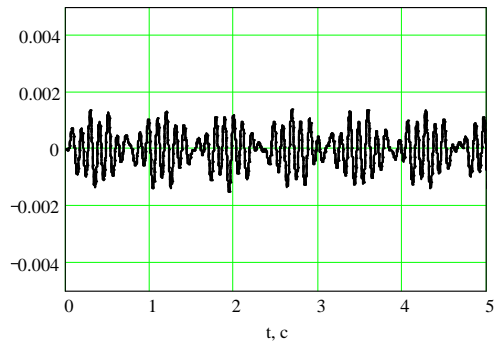


Рис. 5. Зависимость прогиба w_0 средней точки пролета трубопровода от времени t при $\mu_1 = 2 \cdot 10^{-7}$ Нмс/рад, $\mu_2 = 2 \cdot 10^{-3}$ Нс/м², $\Omega = 28,5$ рад/с и $P_0 = 20$ бар

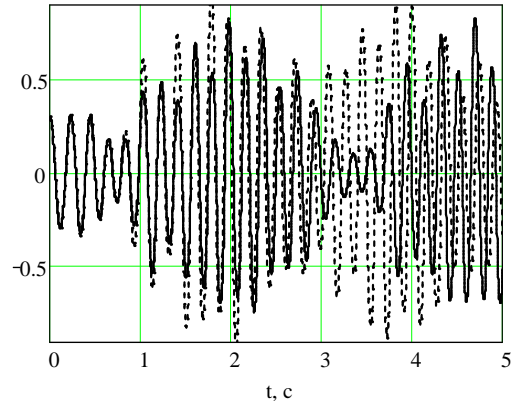


Рис. 8. Зависимость угла θ поворота трубопровода от времени t при $\mu_1 = 2 \cdot 10^{-5}$ Нмс/рад, $\mu_2 = 2 \cdot 10^{-1}$ Нс/м², $\Omega = 64,7$ рад/с и $P_0 = 20$ бар

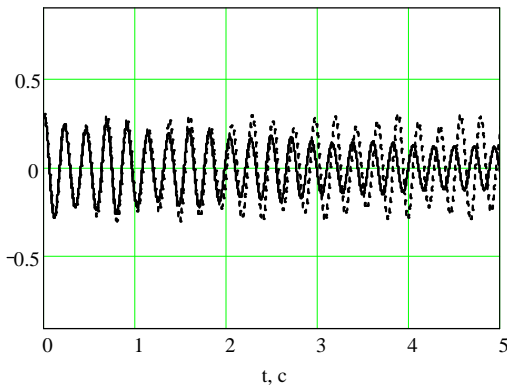


Рис. 6. Зависимость угла θ поворота трубопровода от времени t при $\mu_1 = 2 \cdot 10^{-5}$ Нмс/рад, $\mu_2 = 2 \cdot 10^{-1}$ Нс/м², $\Omega = 28,5$ рад/с и $P_0 = 20$ бар

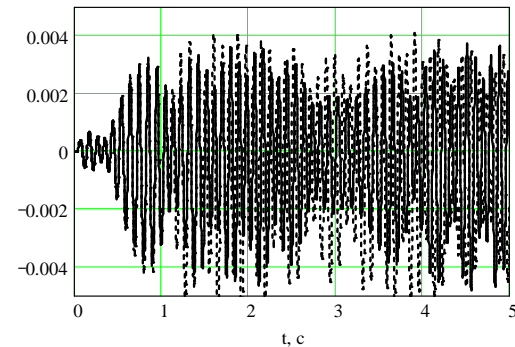


Рис. 9. Зависимость прогиба w_0 средней точки пролета трубопровода от времени t при $\mu_1 = 2 \cdot 10^{-5}$ Нмс/рад, $\mu_2 = 2 \cdot 10^{-1}$ Нс/м², $\Omega = 64,7$ рад/с и $P_0 = 20$ бар

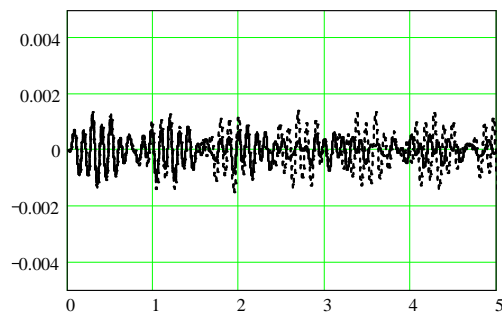


Рис. 7. Зависимость прогиба w_0 средней точки пролета трубопровода от времени t при $\mu_1 = 2 \cdot 10^{-5}$ Нмс/рад, $\mu_2 = 2 \cdot 10^{-1}$ Нс/м², $\Omega = 28,5$ рад/с и $P_0 = 20$ бар

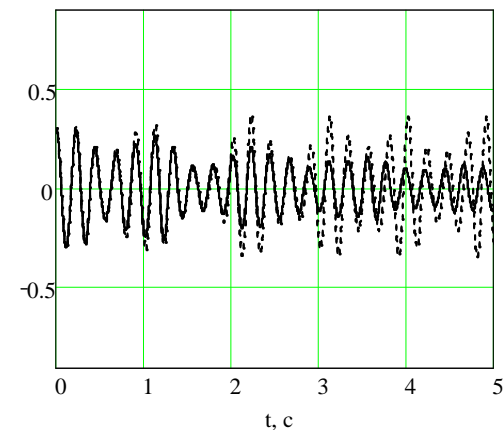


Рис. 10. Зависимость угла θ поворота трубопровода от времени t при $\mu_1 = 2 \cdot 10^{-5}$ Нмс/рад, $\mu_2 = 2 \cdot 10^{-1}$ Нс/м², $\Omega = 70,0$ рад/с и $P_0 = 20$ бар

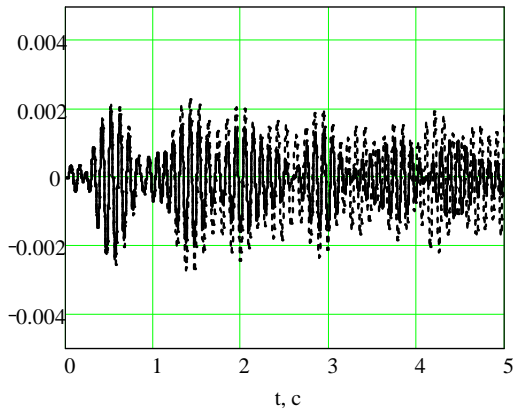


Рис. 11. Зависимость прогиба w_0 средней точки пролета трубопровода от времени t при $\mu_1 = 2 \cdot 10^{-5}$ Нмс/рад, $\mu_2 = 2 \cdot 10^{-1}$ Нс/м², $\Omega = 70,0$ рад/с и $P_0 = 20$ бар

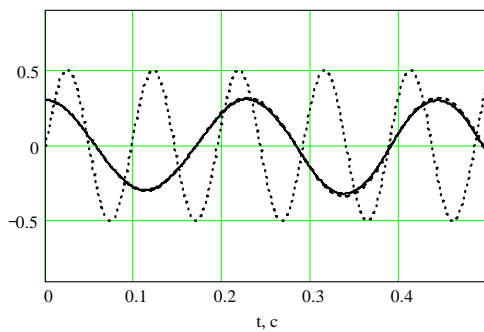


Рис. 12. Зависимость угла θ поворота трубопровода от времени t при $\mu_1 = 2 \cdot 10^{-5}$ Нмс/рад, $\mu_2 = 2 \cdot 10^{-1}$ Нс/м², $\Omega = 64,7$ рад/с, $P_0 = 20$ бар, $P_a = 2$ бара и $\varphi = 0$

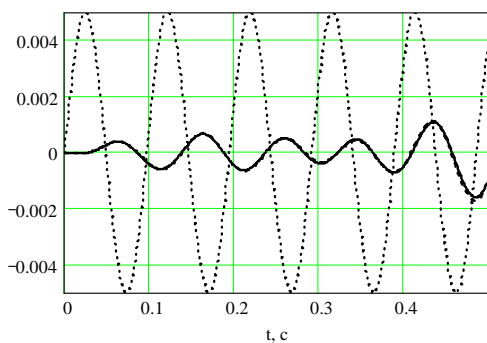


Рис. 13. Зависимость прогиба w_0 средней точки пролета трубопровода от времени t при $\mu_1 = 2 \cdot 10^{-5}$ Нмс/рад, $\mu_2 = 2 \cdot 10^{-1}$ Нс/м², $\Omega = 64,7$ рад/с, $P_0 = 20$ бар, $P_a = 2$ бара и $\varphi = 0$

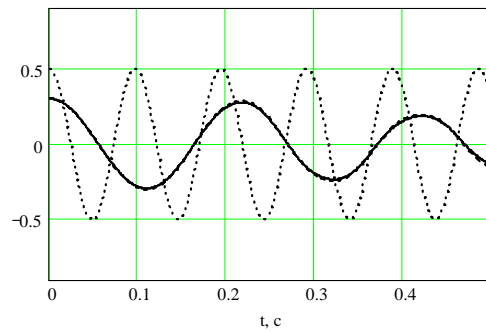


Рис. 14. Зависимость угла θ поворота трубопровода от времени t при $\mu_1 = 2 \cdot 10^{-5}$ Нмс/рад, $\mu_2 = 2 \cdot 10^{-1}$ Нс/м², $\Omega = 64,7$ рад/с, $P_0 = 20$ бар, $P_a = 2$ бара и $\varphi = \pi/2$

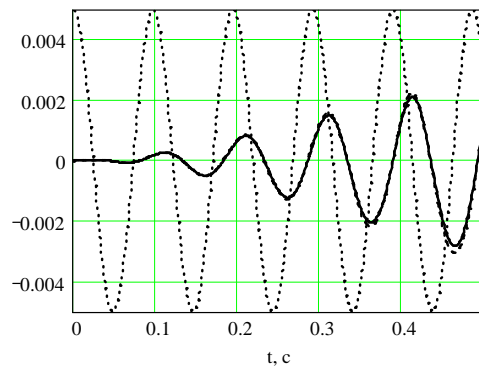


Рис. 15. Зависимость прогиба w_0 средней точки пролета трубопровода от времени t при $\mu_1 = 2 \cdot 10^{-5}$ Нмс/рад, $\mu_2 = 2 \cdot 10^{-1}$ Нс/м², $\Omega = 64,7$ рад/с, $P_0 = 20$ бар, $P_a = 2$ бара и $\varphi = \pi/2$

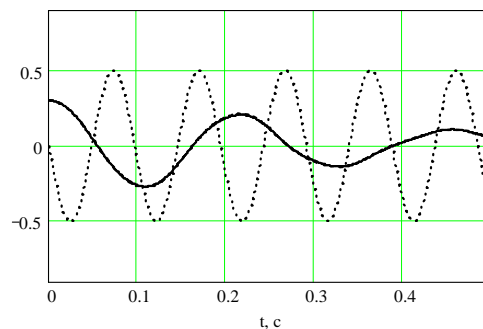


Рис. 16. Зависимость угла θ поворота трубопровода от времени t при $\mu_1 = 2 \cdot 10^{-5}$ Нмс/рад, $\mu_2 = 2 \cdot 10^{-1}$ Нс/м², $\Omega = 64,7$ рад/с, $P_0 = 20$ бар, $P_a = 2$ бара и $\varphi = \pi$

Из этих рисунков видно, что при околорезонансном режиме работы трубопровода ($\Omega = 64,7$ рад/с – рис. 8 и 9) амплитуды вращательных и изгибных колебаний могут быть значительными по сравнению с тем, что имеет место при дорезонансном ($\Omega = 28,5$ рад/с – рис. 6 и 7) и зарезонансном ($\Omega = 70,0$ рад/с – рис. 10 и 11) режимах работы.

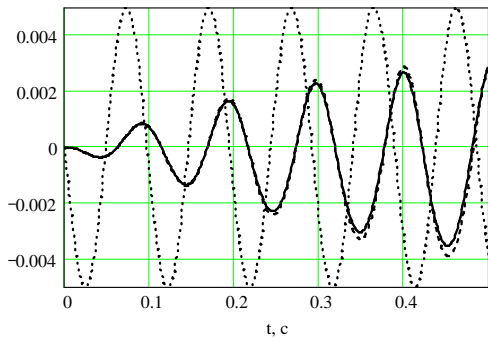


Рис. 17. Зависимость прогиба w_0 средней точки пролета трубопровода от времени t при $\mu_1 = 2 \cdot 10^{-5}$ Нмс/рад, $\mu_2 = 2 \cdot 10^{-1}$ Нс/м², $\Omega = 64,7$ рад/с, $P_0 = 20$ бар, $P_a = 2$ бара и $\varphi = \pi$

Влияние начальной фазы φ динамической части внутреннего давления P_i на колебательные движения трубопровода представлено графиками на рис. 12–17, построенными для трех случаев: $\varphi = 0$ – рис. 12, 13, $\varphi = \pi/2$ – рис. 14, 15, $\varphi = \pi$ – рис. 16, 17. На каждом из этих рисунков для наглядности точками нанесена кривая изменения динамической части внутреннего давления с амплитудой $P_a = 2$ бара и круговой частотой $\Omega = 64,7$ рад/с. Из сравнения соответствующих графиков можно видеть, что при принятых выше параметрах с увеличением значений начальной фазы φ с течением времени происходит уменьшение амплитуд угла θ поворота (рис. 12, 14, 16) и одновременное увеличение амплитуд изгибных перемещений w_0 (рис. 13, 15, 17) трубопровода.

Авторы выражают благодарность М. А. Ильгамову за постановку задачи и помощь в выполнении работы.

5. ПРИЛОЖЕНИЕ РЕЗУЛЬТАТОВ

Результаты настоящего исследования могут найти применение при проектировании трубопроводных систем в авиационной и ракетно-космической технике.

ВЫВОДЫ

1. При принятых значениях основных параметров наблюдаются биения как по вращательным, так и по изгибным колебаниям.
2. С ростом статической составляющей давления P_0 биения по вращательным колебаниям сглаживаются, а по изгибным колебаниям они остаются четко выраженными и происходят с большей частотой.
3. С увеличением сил сопротивления разница между соответствующими максимальными значениями углов поворота θ и прогибов w_0 становится значительной.

4. В околорезонансном режиме работы трубопровода его амплитуды вращательных и изгибных колебаний значительно больше по сравнению с теми, что имеют место в дорезонансном и зарезонансном режимах.

5. С увеличением значений начальной фазы φ с течением времени происходит уменьшение амплитуд угла θ поворота и одновременное увеличение амплитуд изгибных перемещений w_0 трубопровода.

6. Построенная математическая модель колебательных движений предварительно изогнутого собственным весом трубопровода при действии переменного внутреннего давления и полученные на основе этой модели уравнения и результаты вычислений позволяют провести оценку напряженно-деформированного состояния трубопровода.

СПИСОК ЛИТЕРАТУРЫ

1. Светлицкий В. А. Механика трубопроводов и шлангов. М.: Машиностроение, 1982. 280 с.
2. Ильгамов М. А. Статические задачи гидроупругости. Казань. ИММ РАН, 1994. 208 с.
3. Ильгамов М. А., Мишин В. Н. Поперечные колебания трубы под действием бегущих волн в жидкости // Изв. Академии наук. Механика твердого тела. 1997. № 1. С. 181–192.
4. Шакирьянов М. М. Пространственные колебания статически изогнутого трубопровода // Труды института механики УНЦ РАН. Вып. 5. Уфа: Гилем, 2007. С. 335–339.
5. Вольмир А. С. Устойчивость деформируемых систем. М.: Наука, 1967. 954 с.

ОБ АВТОРАХ



Хакимов Аким Гайфуллин-нович, ст. науч. сотр. лаб. механики твердого тела Ин-та механики УНЦ РАН. Дипл. инж.-механик (УАИ, 1970). Канд. физ.-мат. наук по механике жидк., газа и плазмы (Казанск. гос. ун-т, 1977). Иссл. в обл. динамики взаимодействия упругих и упругопластич. тел со средой.



Шакирьянов Марат Масгутьянович, доц. каф. теор. механики. Дипл. инж.-мех. (УАИ, 1969). Канд. физ.-мат. наук по механике твердого деформируемого тела (Казанск. гос. ун-т, 1978). Иссл. в обл. динамики взаимодействия упругих тел со средой.